



AB 1571



SOLDI Sp. z o.o.  
ul. Bieżanowska 22  
30-812 Kraków

# Sprawozdanie nr 314/2023/OS/01

Sprawozdanie z badania natężenia pól elektromagnetycznych  
wykonanych w środowisku

Miejsce wykonania badania:

(dane uzyskane od klienta)

**JRS7117\_A**

37-560 Rozbórz Długi, dz. nr 776,  
pow. jarosławski, woj. podkarpackie

Data zakończenia badania:

21.07.2023 r.

Klient:

P4 Sp. z o.o.  
ul. Wynalazek 1  
02-677 Warszawa

Autoryzacja / wydanie sprawozdania:



  
Leszek Duda  
Kierownik ds. Technicznych

Bez pisemnej zgody laboratorium, sprawozdanie nie może być powielane inaczej, jak tylko w całości.

## 1. Podstawa prawna

Badania wykonano zgodnie z obecnie występującymi aktami prawnymi:

- Ustawa z dnia 27 kwietnia 2001 r. Prawo ochrony środowiska (Dz. U. 2022 poz. 2556 z zm.),
- Rozporządzenie Ministra Zdrowia z dnia 17 grudnia 2019 r. w sprawie dopuszczalnych poziomów pól elektromagnetycznych w środowisku (Dz. U. 2019 poz. 2448),
- Rozporządzenie Ministra Klimatu z dnia 17 lutego 2020 r. w sprawie sposobów sprawdzania dotrzymania dopuszczalnych poziomów pól elektromagnetycznych w środowisku (Dz. U. 2022 poz. 2630).

## 2. Aparatura pomiarowa

Podczas badań użyto następującej aparatury pomiarowej:

**Tabela nr 1**

Miernik szerokopasmowy	Sondy	Zakres częstotliwościowy	Zakres pomiarowy*	Świadectwo wzorcowania
Narda NBM - 550 Nr B-0714	EF-0392 nr G-0072	0,1 – 3 600 MHz	0,8 – 1000 V/m	LWiMP/W/016/23; data wydania: 12.01.2023
Narda NBM - 550 Nr B-0714	EF-6091 nr 01096	80 – 90 000 MHz	0,8 – 300 V/m	LWiMP/W/016/23; data wydania: 12.01.2023
*Do wyznaczenia poprawnej wartości natężenia pola elektromagnetycznego uwzględniono współczynniki korekcyjne z właściwego świadectwa wzorcowania.				

Aparaturę pomiarową charakteryzują następujące wartości niepewności pomiaru obliczone i przedstawiona zgodnie z dokumentem PN-EN 50413. Podane wartości niepewności stanowią niepewności rozszerzone dla poziomu ufności 95% i współczynnika rozszerzenia  $k=2$ .

Procedury wdrożone w laboratorium pozwalają zapewnić odporność elektromagnetyczną miernika.

Niepewność pomiarowa wyznaczona dla zainstalowanych i skonfigurowanych obiektów – źródeł pól, jak w dniu pomiaru wynosi 35%.

Dodatkowa aparatura pomiarowa:

- Kompas (busola) [UP/30/Sw]
- Termohigrometr TFA nr 4433 [UP/31/Sw]  
(Świadectwo wzorcowania: 0197/AH/21; data wydania: 12.02.2021)
- Taśma miernicza geodezyjna 50 m [UP/33/Sw]  
(Świadectwo wzorcowania: U/21/51-512120028.3; data wydania: 10.03.2021)
- Odbiornik GPS REALME GT Neo 2 [UP/22/Sw]

### 3. Opis badania

Badanie przeprowadziło Laboratorium Badawcze Soldi na podstawie zlecenia firmy P4 Sp. z o.o.

Badanie wykonano zgodnie z:

*Załącznikiem do rozporządzenia Ministra Klimatu z dnia 17 lutego 2020 r. w sprawie sposobów sprawdzania dotrzymania dopuszczalnych poziomów pól elektromagnetycznych w środowisku (Dz. U. 2022 poz. 2630).*

Badania promieniowania elektromagnetycznego, którego źródłem są urządzenia wyszczególnione w punkcie 4 sprawozdania przeprowadzono w pionach pomiarowych na kierunkach zbliżonych do azymutów badanej instalacji, w szczególności w tych miejscach, w których na podstawie uprzednio przeprowadzonych obliczeń, stwierdzono występowanie w danych zakresach częstotliwości pól-EM o poziomach zbliżonych do poziomów dopuszczalnych oraz do odległości, dla której stwierdzono w miejscach dostępnych dla ludności występowanie pól elektromagnetycznych o najwyższym poziomie, które pochodzą z badanej instalacji. Badania pól elektromagnetycznych przeprowadzono w pionach pomiarowych wzdłuż głównych kierunków pomiarowych, dodatkowych pionach oraz w miejscach dostępnych dla ludności w otoczeniu instalacji. W przyjętych pionach pomiarowych pomiary wykonano na wysokościach od 0,3 m do 2,0 m nad powierzchnią terenu albo nad innymi miejscami dostępnymi dla ludności. W pobliżu urządzeń, obiektów i elementów metalowych pomiary wykonano w odległości nie mniejszej niż 0,3 m od tych urządzeń, obiektów i elementów metalowych.

Przy sprawdzeniu dotrzymania dopuszczalnych poziomów pól elektromagnetycznych w środowisku nie uwzględnia się poprawek pomiarowych ze względu, na fakt iż pomiary wykonywane są przy użyciu miernika szerokopasmowego.

#### 4. Informacje przekazane przez klienta

Tabela nr 2 – Opis obiektu, w otoczeniu którego wykonano badania oraz określenie terenu wokół stacji

Tabela nr 2a – Szczegółowe dane źródła pól dla anten mikrofalowych

Tabela nr 2b – Szczegółowe dane źródła pól dla anten sektorowych

**Tabela nr 2**

Opis obiektu, w otoczeniu którego wykonano pomiary	
Rodzaj konstrukcji wsporczej:	Stalowa wieża kratowa
Wysokość wieży:	55,95 m n.p.t.
Rodzaj terenu wokół stacji bazowej:	Stacja bazowa zlokalizowana jest na terenie wiejskim, w najbliższym otoczeniu stacji znajdują się tereny rolne.

**Tabela nr 2a**

Charakterystyka promieniowania				kierunkowa					
Rzeczywisty czas pracy [h/dobę]				24					
Rodzaj wytwarzanego pola				stacjonarne					
Linia radiowa				Antena					
Lp.	Typ nadajnika	Częstotliwość pracy [GHz]	Moc wyjściowa [dBm]	Typ / producent	Średnica anteny [m]	Azymut [°]	Wysokość zainstal. [m]	LON	LAT
1	OPTIX RTN/HUAWEI	32	23	0.3-32 (VHLP1-32)	0,3	180	50,2	22°29'16.50"E	49°56'02.20"N

Tabela nr 2b

Charakterystyka promieniowania				kierunkowa					
Rzeczywisty czas pracy [h/dobę]				Całodobowa 24h					
Warunki pracy				Znamionowe					
Rodzaj wytwarzanego pola				stacjonarne					
Lp.	Typ nadajnika	Antena Producent / Typ	Azymut [°]	Wysokość środku elektr. anteny [m n.p.t.]	Pasmo [Mhz]	Kąt nachylenia [°]	EIRP dla anteny [W]	LON	LAT
1	RBS6xxx/2xxx/4xxx	Huawei ADU4518R7	0	53	800	0 - 12	1387	22°29'16.50"E	49°56'02.20"N
	RBS6xxx/2xxx/4xxx				1800	2 - 12		22°29'16.50"E	49°56'02.20"N
	RBS6xxx/2xxx/4xxx				2100	2 - 12		22°29'16.50"E	49°56'02.20"N
2	RBS6xxx/2xxx/4xxx	Huawei ADU4518R7	0	53	800	0 - 12	1387	22°29'16.50"E	49°56'02.20"N
	RBS6xxx/2xxx/4xxx				1800	2 - 12		22°29'16.50"E	49°56'02.20"N
	RBS6xxx/2xxx/4xxx				2100	2 - 12		22°29'16.50"E	49°56'02.20"N
3	RBS6xxx/2xxx/4xxx	Huawei A704516R0	0	53,1	900	0 - 12	1014	22°29'16.50"E	49°56'02.20"N
4	RBS6xxx/2xxx/4xxx	Huawei ADU4518R7	140	53	800	0 - 12	1387	22°29'16.50"E	49°56'02.20"N
	RBS6xxx/2xxx/4xxx				1800	2 - 12		22°29'16.50"E	49°56'02.20"N
	RBS6xxx/2xxx/4xxx				2100	2 - 12		22°29'16.50"E	49°56'02.20"N
5	RBS6xxx/2xxx/4xxx	Huawei ADU4518R7	140	53	800	0 - 12	1387	22°29'16.50"E	49°56'02.20"N
	RBS6xxx/2xxx/4xxx				1800	2 - 12		22°29'16.50"E	49°56'02.20"N
	RBS6xxx/2xxx/4xxx				2100	2 - 12		22°29'16.50"E	49°56'02.20"N
6	RBS6xxx/2xxx/4xxx	Huawei A704516R0	140	53,1	900	0 - 12	1014	22°29'16.50"E	49°56'02.20"N
7	RBS6xxx/2xxx/4xxx	Huawei ADU4518R7	240	53	800	0 - 12	1387	22°29'16.50"E	49°56'02.20"N
	RBS6xxx/2xxx/4xxx				1800	2 - 12		22°29'16.50"E	49°56'02.20"N
	RBS6xxx/2xxx/4xxx				2100	2 - 12		22°29'16.50"E	49°56'02.20"N
8	RBS6xxx/2xxx/4xxx	Huawei ADU4518R7	240	53	800	0 - 12	1387	22°29'16.50"E	49°56'02.20"N
	RBS6xxx/2xxx/4xxx				1800	2 - 12		22°29'16.50"E	49°56'02.20"N
	RBS6xxx/2xxx/4xxx				2100	2 - 12		22°29'16.50"E	49°56'02.20"N
9	RBS6xxx/2xxx/4xxx	Huawei A704516R0	240	53,1	900	0 - 12	1014	22°29'16.50"E	49°56'02.20"N

W załączonej tabeli podano maksymalne parametry pracy tej instalacji deklarowane przez prowadzącego instalację. Podczas pomiarów urządzenia użytkownika pracowały przy aktualnie występującym obciążeniu. Anteny o sterowanych wiązkach zostały ustawione w sposób umożliwiający spełnienie wymagań pkt 13 ppkt 2 RMK.

Jako dopuszczalne poziomy gęstości pola elektromagnetycznego przyjmuje się wartość 2 W/m<sup>2</sup>, co odpowiada natężeniu składowej elektrycznej pola elektromagnetycznego o wartości 28 V/m – tj. minimalnej wartości dopuszczalnej dla zakresu częstotliwości od 10 MHz do 300 GHz, dzięki czemu zostaje uwzględniona obecność innych instalacji emitujących pole – EM w sąsiedztwie.

## 5. Wyniki badań i szkic sytuacyjny

Tabela nr 3

Data wykonania pomiarów	Godzina		Opady	Temperatura [°C]		Wilgotność [%]	
	Rozpoczęcia pomiarów	Zakończenia pomiarów		Minimalna	Maksymalna	Minimalna	Maksymalna
20.07.2023	15:20	16:30	Brak	25,8	26,9	37	40

Temperatura i wilgotność względna nie wyższa niż dopuszczalna specyfikacja miernika.

Tabela nr 4

Nr pionu / punktu	Lokalizacja pionu / punktu pomiarowego			Wysokość pomiaru	Wartość zmierzona	Wynik badania pola-E <sup>*)</sup>	Wskaźnik poziomu emisji WM <sub>E</sub>	Wartość wyznaczona pola-H	Wskaźnik poziomu emisji WM <sub>H</sub>
	LAT	LON	Opis						
1	2	3	4	5	6	7	8	9	10
1	49.93403	22.48792	GKP; poziom terenu wokół stacji bazowej	2,0	0,8	1,1	0,04	0,003	0,04
2	49.93406	22.48792	GKP; poziom terenu wokół stacji bazowej	2,0	0,8	1,1	0,04	0,003	0,04
3	49.93422	22.48792	GKP; poziom terenu wokół stacji bazowej	2,0	0,8	1,1	0,04	0,003	0,04
4	49.93439	22.48792	GKP; poziom terenu wokół stacji bazowej	2,0	0,8	1,1	0,04	0,003	0,04
5	49.93447	22.48792	GKP; poziom terenu wokół stacji bazowej	2,0	0,9	1,2	0,04	0,003	0,04
6	49.93717	22.48792	GKP; poziom terenu wokół stacji bazowej - 357m od obiektu na azymucie 0°	2,0	0,8	1,1	0,04	0,003	0,04
7	49.93389	22.48800	GKP; poziom terenu wokół stacji bazowej	2,0	0,9	1,2	0,04	0,003	0,04
8	49.93386	22.48803	GKP; poziom terenu wokół stacji bazowej	2,0	0,8	1,1	0,04	0,003	0,04
9	49.93375	22.48820	GKP; poziom terenu wokół stacji bazowej	2,0	0,8	1,1	0,04	0,003	0,04
10	49.93361	22.48836	GKP; poziom terenu wokół stacji bazowej	2,0	0,8	1,1	0,04	0,003	0,04
11	49.93353	22.48845	GKP; poziom terenu wokół stacji bazowej	2,0	0,9	1,2	0,04	0,003	0,04
12	49.93150	22.49111	GKP; poziom terenu wokół stacji bazowej - 357m od obiektu na azymucie 140°	2,0	0,8	1,1	0,04	0,003	0,04
13	49.93364	22.48792	GKP; poziom terenu wokół stacji bazowej	2,0	0,8	1,1	0,04	0,003	0,04
14	49.93333	22.48792	GKP; poziom terenu wokół stacji bazowej	2,0	0,8	1,1	0,04	0,003	0,04
15	49.93306	22.48792	GKP; poziom terenu wokół stacji bazowej	2,0	0,8	1,1	0,04	0,003	0,04
16	49.93392	22.48781	GKP; poziom terenu wokół stacji bazowej	2,0	0,8	1,1	0,04	0,003	0,04
17	49.93389	22.48778	GKP; poziom terenu wokół stacji bazowej	2,0	0,8	1,1	0,04	0,003	0,04
18	49.93381	22.48756	GKP; poziom terenu wokół stacji bazowej	2,0	0,9	1,2	0,04	0,003	0,04
19	49.93372	22.48733	GKP; poziom terenu wokół stacji bazowej	2,0	0,9	1,2	0,04	0,003	0,04
20	49.93367	22.48719	GKP; poziom terenu wokół stacji bazowej	2,0	0,8	1,1	0,04	0,003	0,04
21	49.93233	22.48361	GKP; poziom terenu wokół stacji bazowej - 357m od obiektu na azymucie 240°	2,0	0,8	1,1	0,04	0,003	0,04

\*) Za wynik badania przyjmuje się wartość wyznaczoną jako maksymalny chwilowy wynik pomiarów powiększony o rozszerzoną niepewność pomiaru U dla współczynnika rozszerzenia k=2.

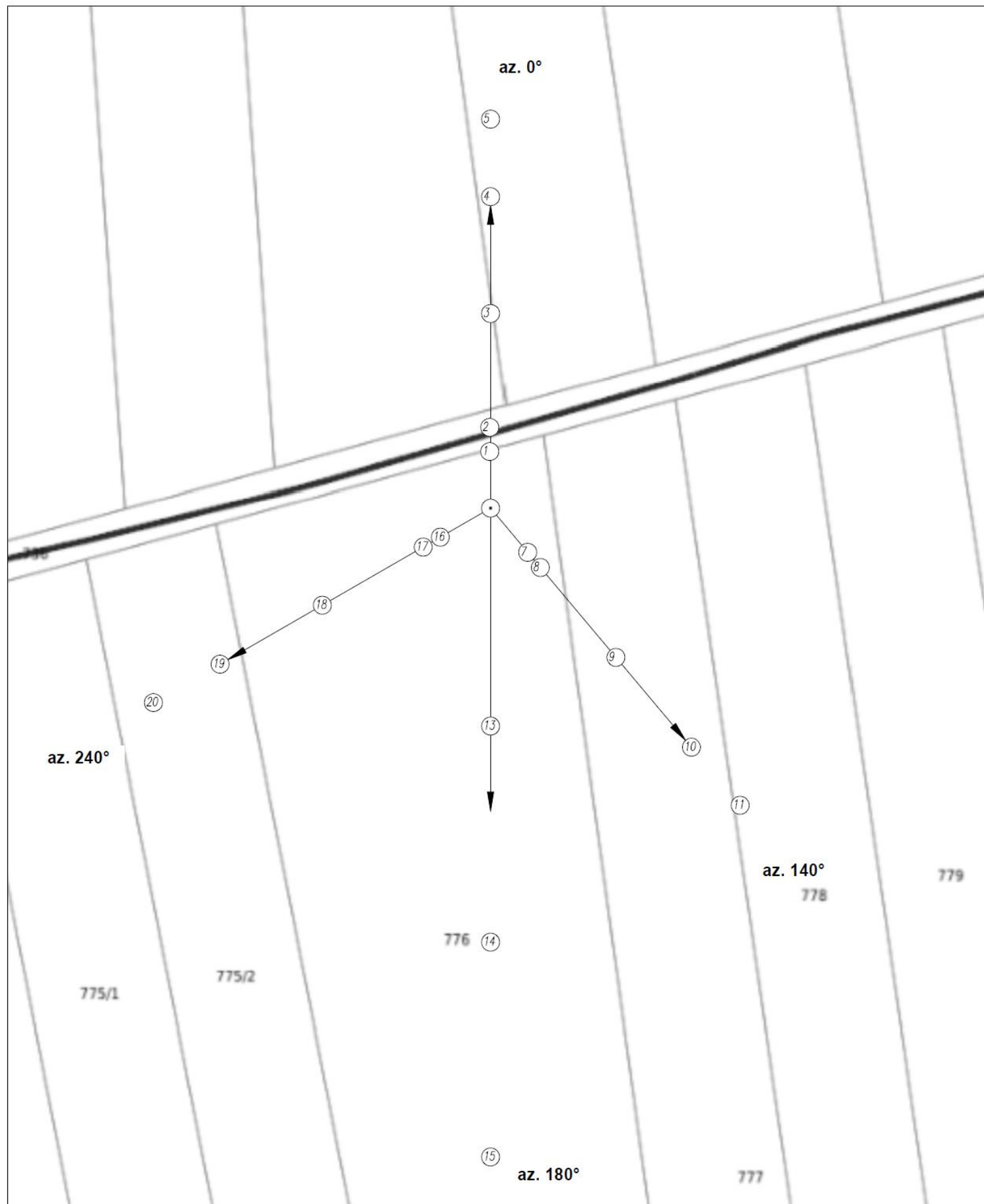
Objaśnienia:

GKP – Główny Kierunek Pomiarowy

Wyniki pomiarów odnoszą się wyłącznie do przedstawionych w sprawozdaniu punktów / pionów pomiarowych.

Dane podane przez klienta wpływają na ważność wyników.

W obszarze pomiarowym nie stwierdzono obecności instalacji urządzeń obcych operatorów.



az. 240°

az. 140°

az. 180°

UWAGA: Nie wszystkie punkty / piony pomiarowe zostały wskazane na powyższej mapie

LEGENDA:

- (Nr) – Punkty (piony) pomiarowe  
 • – Lokalizacja źródła pola-EM



Użytkownik: P4 Sp. z o.o. 02-677 Warszawa, ul. Wynalazek 1	Nr stacji JRS7117_A	Skala 1:750
Nazwa rysunku: Rozmieszczenie pionów pomiarowych Nr sprawozdania: 314/2023/OS/01		
LABORATORIUM BADAWCZE SOLDI ul. Bieżanowska 22, 30-812 Kraków	Opracował: Laboratorium Badawcze Soldi	Nr rysunku 01



## 6. Podsumowanie wyników badania

Minimalne dopuszczalne poziomy elektromagnetycznego promieniowania niejonizującego charakteryzowane przez wartości graniczne wielkości fizycznych dla miejsc dostępnych dla ludności, uwzględniające wszystkie źródła promieniowania mogące występować w obszarze pomiarowym, w zakresie pomiarowym zestawu pomiarowego, opisanego w punkcie 2 niniejszego sprawozdania, zgodnie z rozporządzeniem Ministra Zdrowia z dnia 17 grudnia 2019 r. w sprawie dopuszczalnych poziomów pól elektromagnetycznych w środowisku (Dz. U. 2019 poz. 2448), które zostały przyjęte do obliczeń wskaźników  $WM_E$  i  $WM_H$  wynoszą odpowiednio:

Tabela nr 5

Zakres częstotliwości	Natężenie pola - E	Natężenie pola - H
10 MHz – 300 GHz	28 V/m	0,073 A/m

Przeprowadzone badania zostały wykonane przy użyciu miernika szerokopasmowego i nie wykazały przekroczenia 70% ww. wartości dopuszczalnych. W wyniku przeprowadzonego badania potwierdzono także, że otrzymane wartości wskaźnikowe dla wszystkich punktów / pionów pomiarowych badanej instalacji radiokomunikacyjnej, nie przekroczyły wartości 1. Zatem poziomy pól elektromagnetycznych w badanych punktach są dopuszczalne.

Stwierdzenie zgodności zostało przedstawione na podstawie wyników badań oraz informacji uzyskanych od klienta (za które Laboratorium nie ponosi odpowiedzialności) dla instalacji opisanej w punkcie 4.

Stwierdzenia zgodności dokonano na podstawie zasady podejmowania decyzji i wymagań zawartych w załączniku do rozporządzenia Ministra Klimatu z dnia 17 lutego 2020 r. w sprawie sposobów sprawdzania dotrzymania dopuszczalnych poziomów pól elektromagnetycznych w środowisku (Dz. U. 2022 poz. 2630).

Tabela nr 6

Badanie wykonał:	Sprawozdanie sporządził:	Sprawdził:
Mateusz Skotniczny	Patrycja Korzeniewska	21.07.2023 r. Paulina Wyrobek

-----

**KONIEC SPRAWOZDANIA**